

УДК 621.372.543

A. I. НАЗАРЬКО

Украина, НТУУ «Киевский политехнический институт»  
E-mail: nazarko@kivra.kpi.ua

## МИКРОПОЛОСКОВЫЕ ЭЛЕКТРОМАГНИТНЫЕ КРИСТАЛЛЫ С НИЗКОИМПЕДАНСНЫМИ НЕОДНОРОДНОСТЯМИ

*Предложены микрополосковые электромагнитные кристаллы на основе низкоимпедансных неоднородностей. Показано, что низкоимпедансные неоднородности обеспечивают существенное улучшение развязки сигналов по сравнению с традиционными высокимпедансными.*

**Ключевые слова:** электромагнитный кристалл, запрещенная зона, низкоимпедансная неоднородность.

Искусственные кристаллоподобные структуры представляют значительный интерес как основа разнообразных устройств обработки сигналов. Одна из разновидностей таких структур — электромагнитные кристаллы (**ЭК**) — позволяет значительно улучшить характеристики устройств радиодиапазона [1]. Для моделирования ЭК необходимо использовать трехмерное электромагнитное моделирование. Теоретические характеристики ЭК, приведенные в статье, рассчитаны в одной из наиболее развитых систем такого моделирования — программном пакете CST Microwave Studio (MWS).

ЭК представляет собой несимметричную микрополосковую линию передачи с периодически расположенными неоднородностями. Для повышения эффективности устройств на основе ЭК первостепенное значение имеет повышение зонной избирательности таких структур.

Зонная избирательность ЭК определяется развязкой сигналов в разрешенных и запрещенных зонах. Волновые импедансы неоднородной ( $Z$ ) и однородной ( $Z_0$ ) области ЭК существенно различаются. Традиционная неоднородность ЭК — отверстие, расположенное под полосковым проводником и выполненное обычно лишь на металлизированной поверхности, — является высокоимпедансной. Будем обозначать высокимпедансные неоднородности, индексы их параметров и ЭК на их основе буквой  $H$ , а низкоимпедансные — буквой  $L$ . Развязка сигналов возрастает с увеличением отношения  $\rho_H = Z_H/Z_0$  для  $H$ -неоднородностей или с уменьшением отношения  $\rho_L = Z_L/Z_0$  для  $L$ -неоднородностей.

Для увеличения  $\rho_H$  необходимо выполнить отверстие еще и в диэлектрическом основании. Значение  $\rho_H$  возрастает с увеличением глубины отверстия. Так, для неоднородности, рассмотренной в [2], с углублением отверстия значение  $\rho_H$  возрас-

тает приблизительно с 2 до 4 при  $Z_0=50$  Ом. Однако, поскольку углубление отверстия ограничено толщиной основания, дальнейшее увеличение  $\rho_H$  можно обеспечить комбинированной неоднородностью, объединяющей неоднородности на металлизированной поверхности, в диэлектрическом основании и на сигнальной поверхности. Для комбинированных  $H$ -неоднородностей, которые используются в фильтре [3],  $\rho_H=7$  при  $Z_0=50$  Ом.

### Низкоимпедансные неоднородности

Рассмотрим конструктивные возможности реализации  $L$ -неоднородности. Характеристический импеданс микрополосковой линии уменьшается при расширении сигнального проводника, при уменьшении толщины диэлектрика и увеличении его диэлектрической проницаемости. Исходя из этого  $L$ -неоднородность может являться несквозное металлизированное отверстие в основании, гальванически связанное с металлизированной поверхностью, или отверстие в основании, заполненное диэлектриком с более высокой диэлектрической проницаемостью, чем основание.

На рис. 1 показан ЭК с  $L$ -неоднородностями в виде металлизированных отверстий. На одной

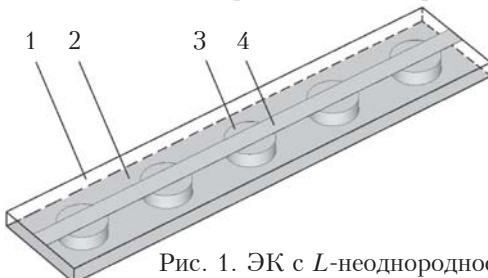


Рис. 1. ЭК с  $L$ -неоднородностями в виде металлизированных отверстий:  
1 — диэлектрическое основание; 2 — слой металлизации; 3 — металлизированные отверстия; 4 — полосковый проводник

стороне диэлектрического основания 1 выполнена металлизация 2 и ряд периодически размещенных в слое металлизации и в основании металлизированных отверстий 3, гальванически связанных с металлизацией основания. На другой стороне основания размещен полосковой проводник 4. Глубина отверстий  $h'$  меньше толщины основания  $h$ . Величина  $h'$  рассчитывается из выражения для волнового импеданса  $Z$  несимметричной микрополосковой линии [4]

$$Z = \frac{120\pi / \sqrt{\epsilon_e}}{x + 1,393 + 0,667 \ln(x + 1,444)}, \quad (1)$$

$$\epsilon_e = \frac{\epsilon + 1}{2} + \frac{\epsilon - 1}{2\sqrt{1 + 12/x}}, \quad (2)$$

где  $\epsilon$  и  $\epsilon_e$  — относительная и относительная эффективная диэлектрическая проницаемость;  $x = w/\Delta h$ ;

$w$  — ширина сигнального проводника;  $\Delta h = h - h'$  — зазор между отверстием и сигнальным проводником.

Покажем, что низкоимпедансные неоднородности более эффективны по сравнению с традиционными высокоимпедансными. Воспользуемся формулами (1) и (2). Для узких зазоров, когда  $x \gg 1$ , выполняется условие  $\epsilon_e \approx \epsilon$  и тогда  $Z \approx 120\pi\Delta h / (w\sqrt{\epsilon})$ . В этом случае величина импеданса прямо пропорциональна ширине зазора и обратно пропорциональна ширине проводника.

Рассчитаем возможное значение  $\rho_L$  для  $L$ -неоднородности с параметрами, соответствующими  $H$ -неоднородности из [3]:  $\epsilon=10,2$ ,  $h=1,28$  мм,  $w=8$  мм. При  $h'=1$  мм согласно (1) имеем  $Z_L=3,8$  Ом (по приближенной формуле для узких зазоров  $Z_L=4,1$  Ом), что соответствует  $\rho_L=0,08$ . Поскольку  $\rho_L^{-1}/\rho_H=1,8$ , ЭК- $L$  заметно эффективнее ЭК- $H$ .

Рассмотрим соотношение между  $\epsilon_{eH}$  и  $\epsilon_{eL}$ . Для  $H$ -неоднородности из [3]  $\epsilon_{eH}=1,5$ . Согласно (2),  $\epsilon_{eL}=9,5$ . Поскольку  $\epsilon_{eL} \gg \epsilon_{eH}$ , при заданной электрической длине размер  $L$ -неоднородности в направлении распространения волн должен быть существенно меньше, чем для  $H$ -неоднородности. При одинаковых габаритах диапазон рабочих частот ЭК- $L$  ниже, чем ЭК- $H$ , а для заданного диапазона частот габариты ЭК- $L$  меньше по сравнению с ЭК- $H$ .

Представленные на рис. 2 частотные зависимости коэффициентов прохождения  $T$  и отражения  $R$  сигнала в первой полосе подавления соответствуют предложенному ЭК- $L$  с металлизированными отверстиями (см. рис. 1) и традиционному ЭК с отверстиями без металлизации [5] ( $f_0$  — средняя частота первой запрещенной зоны). Параметры устройств следующие: длина  $a=60$  мм, ширина  $b=13$  мм,  $h=2,1$  мм,  $w=2,5$  мм, толщина медной фольги  $t=0,05$  мм,

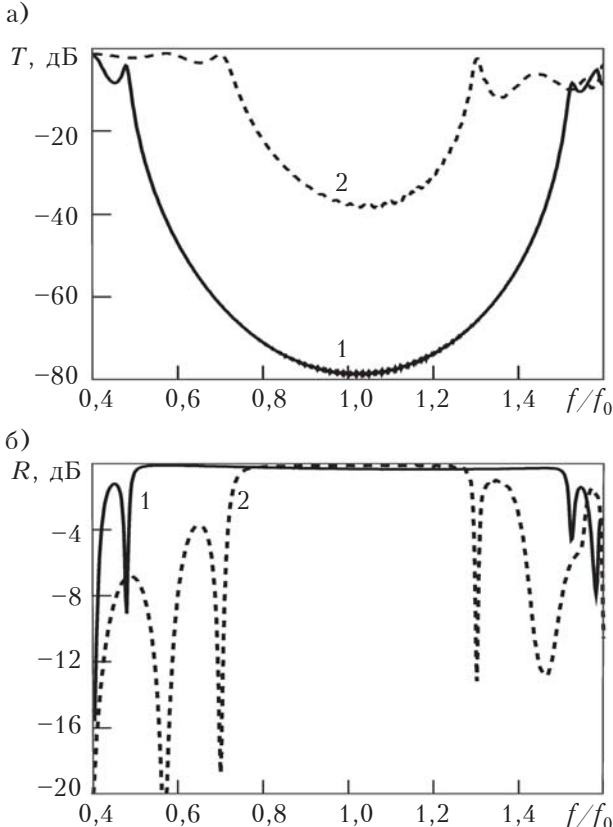


Рис. 2. Частотные зависимости коэффициентов прохождения (а) и отражения (б) сигнала для ЭК- $L$  с металлизированными отверстиями (1) и традиционного ЭК с отверстиями без металлизации (2)

период структуры  $p=12$  мм, диаметр отверстий  $d=6$  мм,  $h'=1,9$  мм, количество отверстий  $n=5$ . Материал подложки — Флан-7,2 с параметрами:  $\epsilon=7$ , тангенс угла диэлектрических потерь на частоте 10 ГГц  $\operatorname{tg}\delta=0,0025$ .

Волновой импеданс однородных областей равен 50 Ом, а неоднородных областей — 9,3 Ом в ЭК- $L$  и 152,2 Ом в ЭК без металлизации отверстий [5], что отвечает значениям  $\rho_H=3,0$ ,  $\rho_L^{-1}=5,4$ ,  $\rho_L^{-1}/\rho_H=1,8$ . При использовании  $L$ -неоднородностей отношение импедансов разнородных областей ЭК увеличивается почти в два раза, что обеспечивает существенное расширение полос подавления и уменьшение уровня сигнала в этих полосах. Абсолютная и относительная ширина полосы подавления (по первым нулям характеристики), минимальный уровень сигнала в этой полосе и частота  $f_0$  для устройств 1 и 2 равны, соответственно, 5,14 и 4,18 ГГц; 104 и 60%; -79 и -38 dB; 4,93 и 6,94 ГГц.

#### ***L*-неоднородности со стороны сигнального проводника**

Волновой импеданс неоднородности в виде металлизированного отверстия определяется диэлектрической проницаемостью основания, зазором между сигнальным проводником и отверстием и площадью перекрытия сигнального про-

## ФУНКЦИОНАЛЬНАЯ МИКРО- И НАНОЭЛЕКТРОНИКА

водника «дном» отверстия. При заданных материалах основания и ширине зазора значение  $Z_L$  уменьшается с увеличением площади перекрытия. Наибольшую площадь перекрытия, равную площади дна отверстия, имеет сигнальный проводник, форма и размеры которого над отверстием такие же, как и форма и размеры дна. Таким образом, минимальное значение  $Z_L$  ограничено площадью дна отверстия. Дальнейшее повышение эффективности  $L$ -неоднородностей обеспечивается выполнением отверстий со стороны сигнального проводника.

В случае, показанном на **рис. 3**, волновой импеданс определяется площадью всей поверхности отверстия, а не только площадью его дна. При одинаковых диаметрах неоднородность со стороны сигнального проводника эффективнее

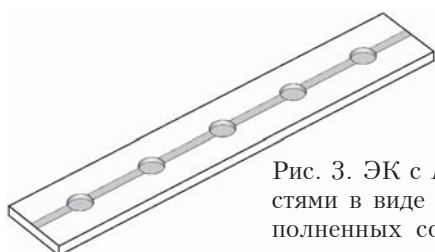


Рис. 3. ЭК с  $L$ -неоднородностями в виде отверстий, выполненных со стороны сигнального проводника и гальванически связанных с ним

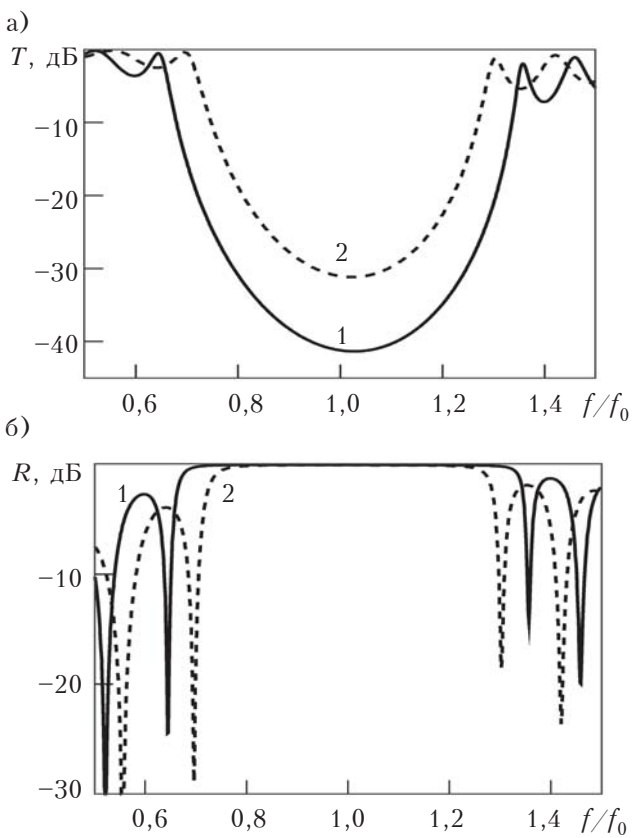


Рис. 4. Частотные зависимости коэффициентов прохождения (а) и отражения (б) для ЭК- $L$  с неоднородностями, выполненными на сигнальной (1) и на заземленной (2) поверхностях

неоднородности со стороны металлизированной поверхности. Это обеспечивает уменьшение волнового импеданса и, значит, улучшение развязки сигналов.

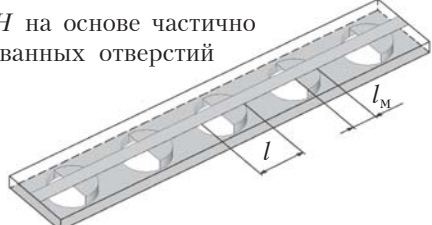
Зависимости на **рис. 4** иллюстрируют повышение эффективности ЭК- $L$  при выполнении неоднородностей на сигнальной поверхности (1) в сравнении с неоднородностями на заземленной поверхности (2). Параметры ЭК следующие:  $a=53$  мм,  $b=9$  мм,  $t=0,035$  мм,  $h=1,28$  мм,  $w=1,1$  мм,  $p=10$  мм,  $d=3$  мм,  $h'=0,7$  мм,  $n=5$ . Материал подложки — Rogers RO3010 с параметрами:  $\epsilon=10,2$ ,  $\operatorname{tg}\delta=0,0023$ . В ЭК- $L$  2 полосковый проводник над отверстиями имеет форму и размеры дна отверстия.

Абсолютная и относительная ширина полосы подавления, минимальный уровень сигнала в этой полосе и частота  $f_0$  для ЭК- $L$  1 и 2, соответственно, равны 3,64 и 3,21 ГГц; 71 и 61%; -41 и -31 дБ; 5,10 и 5,29 ГГц. ЭК- $L$  1 улучшает развязку сигналов на 10 дБ.

### ЭК на основе $L/H$ -неоднородностей

Введение в неоднородность дополнительной внутренней границы между разнородными областями позволит сформировать дополнительный (внутренний) отражатель, что повысит эффективность  $L$ -неоднородности. Поскольку в такой неоднородности сочетаются металлизированная и неметаллизированная области, обозначим ее как  $L/H$ -неоднородность.

Рис. 5. ЭК- $L/H$  на основе частично металлизированных отверстий



На **рис. 5** показан ЭК с  $L/H$ -неоднородностями. В направлении распространения волн размер  $l_m$  области металлизации каждого из отверстий меньше размера  $l$  отверстия. Наиболее технологичное решение определяется условием  $l_m=l/2$ . При оптимальных значениях  $l_m$ , которые рассчитываются моделированием, достигается минимум  $T_1$  или максимум  $T_2$ . Индекс при  $T$  соответствует номеру запрещенной зоны, т. е. обеспечивается максимальная эффективность ЭК в первой запрещенной зоне и максимальное подавление второй запрещенной зоны, что дает дополнительные возможности в формировании частотных характеристик устройства на основе ЭК.

**Рис. 6** иллюстрирует улучшение развязки сигналов ЭК- $L/H$  (1) в сравнении с ЭК- $L$  с полностью металлизированными отверстиями (2). Параметры ЭК следующие:  $a=74$  мм,  $b=13$  мм,  $t=0,035$  мм,  $h=2,1$  мм,  $w=2,5$  мм,  $p=14$  мм,  $d=8$  мм,  $h'=1,7$  мм,  $n=5$ , материал подложки — Флан-7,2. Значение  $T_1$  и средней

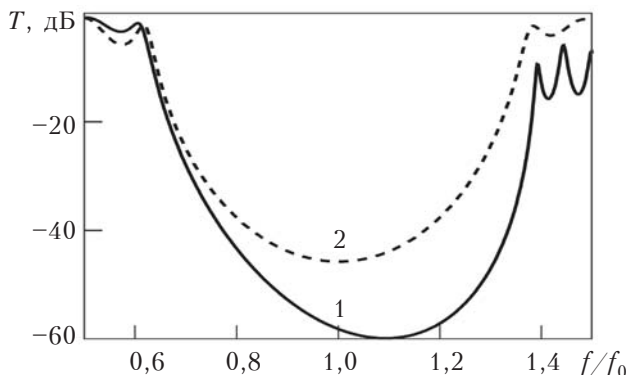


Рис. 6. Частотная зависимость коэффициентов прохождения ЭК- $L/H$  при  $l_m = l/2 = 4$  мм (1) и ЭК- $L$  с полностью металлизированными отверстиями (2)

частоты  $f_0$  устройств 1 и 2 равны, соответственно,  $-59,9$  и  $-45,8$  дБ;  $4,56$  и  $4,33$  ГГц.

Для ЭК- $L/H$  из условия минимума  $T_1$  получим  $l_m = 4,5$  мм. При этом  $T_1 = -60,3$  дБ, что лишь на  $0,4$  дБ меньше, чем в случае  $l_m = 4$  мм. Таким образом, значение  $l_m = 4$  мм близко к оптимальному.

Из условия максимума  $T_2$  имеем  $l_m = 7,4$  мм. В этом случае  $T_1 = -48,3$  дБ, а  $T_2 = -3,8$  дБ.

Для ЭК- $L$   $T_2 = -13,9$  дБ. По сравнению с ЭК- $L$ , ЭК- $L/H$  обеспечивает уменьшение значения  $T_1$  на  $2,5$  дБ и повышение значения  $T_2$  на  $10,1$  дБ. В характеристике ЭК- $L/H$  вторая запрещенная зона отсутствует.

По сравнению с ЭК- $L$ , при  $l_m = 4$  мм ЭК- $L/H$  улучшает развязку сигналов на  $14,1$  дБ, а при  $l_m = 4,5$  мм — на  $14,5$  дБ.

#### Устройства на основе $L$ -неоднородностей

На рис. 7 приведены частотные зависимости коэффициента прохождения сигнала для ЭК- $L$  на основе неоднородностей на заземленной поверхности с такими параметрами:  $w=2,5$  мм,  $d=8,6$  мм,  $p=20$  мм,  $n=5$ ,  $h=2,1$  мм,  $h'=1,7$  мм, материал подложки — Флан-7,2,  $Z_0=50$  Ом.

Согласно выражениям (1) и (2),  $Z_L = 17,5$  Ом,  $\epsilon_{eL} = 5,8$ . Исходя из одномерной модели ЭК- $L$  в виде линии передачи, образованной чередующимися отрезками с импедансами  $Z_L$  и  $Z_0$ , характеристики 2 соответствуют значения  $Z_L = 15,5$  Ом и  $\epsilon_{eL} = 5,6$ , что хорошо согласуется с полученными из (1) и (2). Экспериментальные и расчетные значения средней частоты запрещенной зоны, определяемой минимумом коэффициента прохождения  $T_{min}$ , и значение  $T_{min}$  равны, соответственно,  $3,33$  и  $3,27$  ГГц,  $-43$  и  $-44$  дБ. Экспериментальные и расчетные параметры для ЭК- $H$ , который отличается от рассмотренного ЭК- $L$  тем, что отверстия неметаллизированные, такие:  $4,19$  и  $4,04$  ГГц,  $-22$  и  $-30$  дБ. При этом  $\epsilon_{eH} = 1,7$ ,  $Z_H = 130$  Ом. Меньшее значение  $T_{min}$  для ЭК- $L$  объясняется тем, что  $\rho_L^{-1} = 3,2 > \rho_H^{-1} = 2,6$  и длина  $L$ -неоднородности намного ближе к четвертьвол-

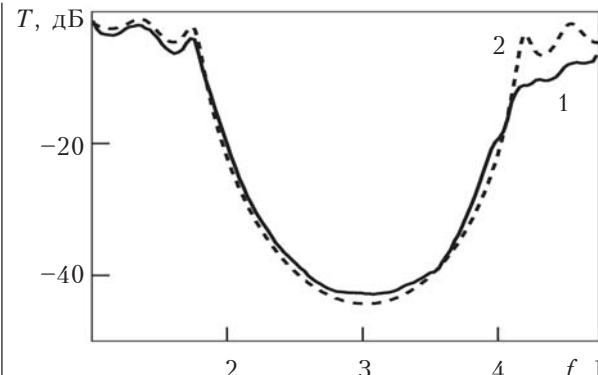


Рис. 7. Экспериментальная (1) и расчетная (2) частотные зависимости коэффициента прохождения для ЭК- $L$  на основе неоднородностей на заземленной поверхности

новой в сравнении с  $H$ -неоднородностью (соответственно,  $0,9$  и  $0,6$  от четверти длины волны). Уменьшение средней частоты ЭК- $L$  обусловлено меньшей скоростью волн, поскольку  $\epsilon_{eL} > \epsilon_{eH}$ .

Предложенные  $L$ -неоднородности позволяют не только формировать высокоэффективные ЭК, но и могут быть использованы как отдельные эффективные отражатели или резонаторы в структурах фильтров. На рис. 8 показана структура узкополосного фильтра, соответствующая

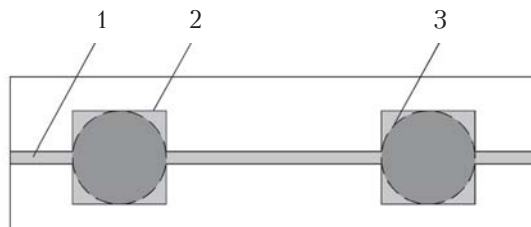


Рис. 8. Фильтр на основе  $L$ -неоднородностей: 1 — полосковый проводник, 2 — широкий полосковый отрезок, 3 —  $L$ -неоднородность

резонатору Фабри—Перо. Отражатели резонатора формируются отдельными  $L$ -неоднородностями, а резонаторная полость — отрезком полоскового проводника. Для снижения  $Z_L$  сигнальный проводник над неоднородностями имеет ширину, равную диаметру отверстий. Резонансный отклик фильтра обусловлен резонансным прохождением волны. Для повышения коэффициента отражения отражателя необходимо использовать несколько периодически расположенных неоднородностей в виде кристаллоподобной структуры (**КС**). Резонансный отклик такого фильтра соответствует уровню дефекта суммарной КС, образованной КС-отражателями, в ее запрещенной зоне.

На рис. 9 приведены характеристики фильтра со структурой, соответствующей рис. 8, имеющей следующие параметры:  $a=42,2$  мм,  $b=13$  мм,  $t=0,035$  мм,  $h=1,28$  мм,  $w=1$  мм,  $d=7,5$  мм,  $h'=0,65$  мм, расстояние между неоднородностя-

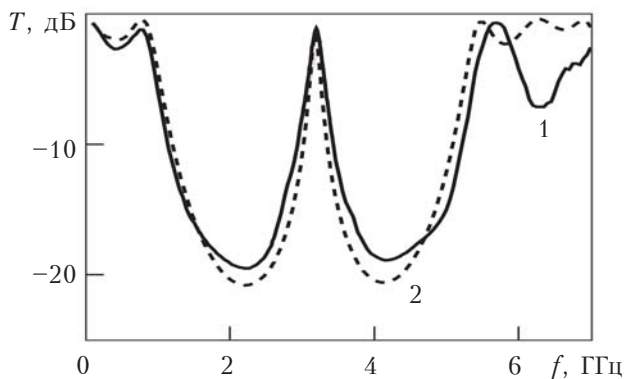


Рис. 9. Экспериментальная (1) и расчетная (2) амплитудно-частотные характеристики фильтра на основе  $L$ -неоднородностей

ми 17,2 мм. Материал подложки — Rogers RO3010,  $h=1,28$  мм,  $h'=0,65$  мм, толщина металлизации 0,035 мм,  $Z_0=50$  Ом. Согласно выражениям (1) и (2),  $Z_L=8,4$  Ом,  $\epsilon_{eL}=8,8$ . Экспериментальные и расчетные значения средней частоты и вносимых потерь совпадают и равны, соответственно, 3,2 ГГц и 1,5 дБ; экспериментальные и расчетные значения ширины полосы пропускания по уровню  $-3$  дБ равны, соответственно, 0,18 и 0,15 ГГц.

### Выводы

Проведенные исследования показали, что ЭК с низкоимпедансными неоднородностями более эффективны, чем с высокоимпедансными. ЭК- $L$  обеспечивают существенное улучшение развязки сигналов по сравнению с ЭК- $H$  (например, в одном из рассмотренных вариантов с  $-38$  до  $-79$  дБ). Предложенные варианты  $L$ -неоднородностей позволяют реализовать ЭК в различных конструктивных решениях микрополосковых устройств.  $L$ -неоднородности могут быть использованы как отдельные эффективные отражатели или резонаторы в структурах фильтров. Структура на основе двух  $L$ -неоднородностей как отражателей резонатора Фабри—Перо позволяет реализовать узкополосный фильтр.

### ИСПОЛЬЗОВАННЫЕ ИСТОЧНИКИ

- Weng L. H., Guo Y. C., Shi X. W., Chen X. Q. An overview on defected ground structure // Progress In Electromagnetics Research. — 2008. — Vol. 7, B. — P. 173—189.

2. Назарко А. И., Тимофеева Ю. Ф., Нелин Е. А., Попсуй В. И. Повышение зонной избирательности мэлектронных кристаллов // Технология и конструирование в электронной аппаратуре. — 2009. — № 6. — С. 38—41. [Nazarko A. I., Timofeeva Yu. F., Nelin E. A., Popsui V. I. // Tekhnologiya i Konstruirovaniye v Elektronnoi Apparature. 2009. N 6. P. 38]

3. Назарко А. И., Нелин Е. А., Попсуй В. И., Тимофеева Ю. Ф. Узкополосный частотный фильтр на основе кристаллоподобных неоднородностей // ЖТФ. — 2010. — Т. 80, Вып. 10 — С. 148—149. [Nazarko A. I., Nelin E. A., Popsui V. I., Timofeeva Yu. F. // Technical Physics. — 2010. — Vol. 55, N. 10 — P. 1536—1537]

4. Hong J. S., Lancaster J. Microstrip filters for RF/microwave applications. — New York: Wiley, 2001.

5. Radisic V., Qian Y., Itoh T. Broad-band amplifier using dielectric photonic bandgap structure // IEEE Microwave and Guided Wave Letters. — 1998. — Vol. 8, N 1. — P. 13—14.

Дата поступления рукописи  
в редакцию 25.07.2011 г.

**Nazarko A. I. Microstrip electromagnetic crystals with low-impedance inhomogeneities.**

*Keywords:* *electromagnetic crystal, forbidden gap, low-impedance inhomogeneity.*

It is shown, that the low-impedance inhomogeneities provide a significant improvement in signals decoupling compared to conventional high-impedance inhomogeneities. Proposed low-impedance inhomogeneities allow to create high-effective electromagnetic crystals, and also can be used as separate effective reflectors or resonators in filter structures.

Ukraine, NTUU «Kyiv Polytechnic Institute».

**Назарко А. І. Мікросмужкові електромагнітні кристали з низькоімпедансними неоднорідностями.**

*Ключові слова:* *електромагнітний кристал, заборонена зона, низькоімпедансна неоднорідність.*

Показано, що низькоімпедансні неоднорідності забезпечують істотне поліпшення роз'язки сигналів в порівнянні з традиційними високоімпедансними. Запропоновано мікросмужкові електромагнітні кристали на основі низькоімпедансних неоднорідностей.

Україна, НТУУ «Київський політехнічний інститут».